

## 研究简报

## 胆碱脱氢酶的 N 端氨基酸序列测定\*

傅晓红 林其谁

(中国科学院上海生物化学研究所, 分子生物学国家重点实验室, 上海 200031)

**摘要** 采用 SDS-PAGE 凝胶电泳及电转移方法, 将增溶的鼠肝线粒体胆碱脱氢酶进一步纯化, 且去掉增溶线粒体胆碱脱氢酶 (CDH) 中所包含的大部分磷脂、去垢剂、辅基 FAD 等。对进一步纯化的 CDH 进行了 N 端氨基酸序列测定, 得到 CDH N 端 10 个氨基酸残基序列为 VAAAAGGGKD, 这一部分序列与小鼠 C05 蛋白 (即补体 C5 的前体蛋白)、大鼠腺苷酰 (基) 环化酶 (adenylyl cyclase)、人甾体结合蛋白 (oxysterol binding protein) 有很高同源性, 但与大肠杆菌 CDH 并无明显的同源性。

**关键词** 胆碱脱氢酶, 电转移, 一级结构, 同源性

虽然随着氨基酸自动序列仪的出现以及分子遗传技术的发展, 越来越多的蛋白质一级结构得到阐明, 但是膜固有蛋白质一级结构的研究却相对滞后, 线粒体胆碱脱氢酶 (EC 1.1.99.1, CDH) 是一种典型的膜蛋白, 广泛存在于动物的肝、肾、脑等组织中。某些微生物原生质中也有 CDH。

1991 年 Lamark 等<sup>[1]</sup> 曾报道过原核生物 CDH 的一级结构, 但关于真核生物 CDH 的序列, 文献上尚未有报道。我们对按文献提纯的 CDH 予以进一步的纯化, 使其适用于氨基酸序列分析仪进行序列测定, 并得到了鼠肝线粒体 CDH 的 N 端 10 个氨基酸残基序列, 同时报道了与这一 N 端片段具有较高同源性的几种蛋白质。

## 1 材料和方法

### 1.1 材料

Lubrol WX、3-环己胺-1-丙磺酸 (3-cyclohexylamino-1-propanesulfonic acid, CAPS)、丽春红 S (Ponceau S) 为 Sigma 公司产品; MOPS、2-巯基乙醇、甲叉丙烯酰胺为 Fluka 公司产品; SDS 为 Serva 公司产品; TEMED

为 Merck 公司产品; Tris 为 Boehringer 产品; 丙烯酰胺、Coomassie Blue R-250 为 BDH 产品; PVDF 膜购自 Amersham 公司; 其余试剂均为国产分析纯级试剂。

### 1.2 方法

**1.2.1** 胆碱脱氢酶的提纯: 按文献 [2], 纯化到 DEAE-Sepharose CL 6B 离子交换柱一步, 将洗脱液超滤浓缩。

**1.2.2** SDS-聚丙烯酰胺凝胶电泳纯化胆碱脱氢酶: 采用 4.0% 的浓缩胶与 10% 的分离胶 (以 0.1% SDS, 0.12 mol/L 及 0.38 mol/L Tris-HCl 缓冲液配制, pH 分别为 6.8 和 8.8)。用上样缓冲液 (含 4% SDS, 2% 2-巯基乙醇, 20% 甘油, 0.04% 溴酚蓝及 100 mmol/L Tris-HCl, pH 6.8) 将 CDH 溶液稀释 1 倍, 样品置沸水浴中保温 5 min, 在 10 V/cm 电压下电泳 3 h 左右。

**1.2.3** 电转移: 分离后的蛋白质用 10% 甲醇、10 mmol/L CAPS (pH 11.0) 缓冲液浸泡 5 min, 将经甲醇和 CAPS 缓冲液预处理过的二张 PVDF 膜置于二张定量滤纸上, 再将

\* 国家自然科学基金资助项目。

收稿日期: 1996-03-21, 修回日期: 1996-06-26

胶置于膜上，盖两张定量滤纸（定量滤纸预先亦于 CAPS 缓冲液中浸湿），装好转移“三明治”，安装好半干式电转移仪，用 150 mA 恒流转移 18 min。转移完毕后取下 PVDF 膜用 0.2% 丽春红 S、1% 醋酸溶液染色 50 s，显示出红色的蛋白质条带。所得条带可直接用蛋白质/多肽氨基酸序列分析仪测定 N 端氨基酸序列。用全湿式电转移仪转移，采用 30 min、0.5 A 恒流条件，转移缓冲液含 25 mmol/L Tris、192 mmol/L 甘氨酸及 20% 甲醇 (pH 8.3)，其他步骤同前述。

**1.2.4 N 端氨基酸序列的测定：**利用蛋白质/多肽自动序列分析仪 (Beckman 1F 3200 Protein/Peptide Sequencer) 进行序列分析。

## 2 结果和讨论

膜蛋白的提纯及测序过程中肽段的连续降解，与可溶性蛋白质相比都存在很多困难。例如在纯化过程中，不饱和脂肪酸有可能会自氧化，产生过氧化物等活性物质，而它们会氧化蛋白质中的甲硫氨酸、半胱氨酸和色氨酸等残基；采用有机溶剂脱脂常使蛋白质更难溶解，且必须事先去除过氧化物的污染；非离子型去垢剂也常含有氧化剂的污染；膜蛋白抽提过程中，微粒体中的蛋白酶也常伴随脂质团被纯化，随着去垢剂的增溶而被释放出来，从而可能引起膜蛋白的降解；Edman 降解反应中常用的溶剂极少能溶解疏水肽段等等。

按文献 [2] 方法提纯的 CDH 以酶-去垢剂-磷脂复合物形式存在，每个复合物中含一条多肽链，单体相对分子质量为 61 000，每 mg 酶蛋白含 0.23 mg 磷脂，每 mol 酶含 1 mol 非共价结合的辅基 FAD<sup>[3]</sup>。为了使纯化的 CDH 适合于氨基酸自动序列分析仪的测定，去掉酶复合物中的 FAD、磷脂、去垢剂等非蛋白组分是必不可少的，我们曾尝试过电洗脱、TCA 沉淀、丙酮抽提、冷冻干燥、FPLC 等方法，其中以 SDS-PAGE 电泳与电转移结合的方法最为有效，且可以省略 CDH 的最后几步纯化步骤，直接以 DEAE-Sephadex CL 6B

离子交换柱的 CDH 洗脱液作为样品进行电泳。

1987 年 Paul 首次将蛋白质转移至 PVDF 膜上进行 N 端序列测定<sup>[4]</sup>，近 10 年来已有大量的蛋白质经此纯化方法得到了 N 端氨基酸序列。我们发现 CDH 经 SDS-PAGE 分离后，无论是采用全湿式电转移仪还是半干式电转移仪，均能很好地从胶上转移至 PVDF 膜，得到满意的结果，说明尽管 CDH 是膜蛋白，在天然条件下有很强的疏水区，但增溶 CDH 经 SDS-PAGE 电泳后却有较好的溶解性，这可能是由于 CDH 构象上的变化造成的。

图 1 为转移后经丽春红 S 染色的 PVDF 膜，从图 1 可见转移的条带。切下 CDH 条带经 Beckman 1F 3200 序列分析仪测定，得到胆碱脱氢酶 N 端 10 个氨基酸残基的序列：Val-Ala-Ala-Ala-Ala-Gly-Gly-Gly-Lys-Asp。

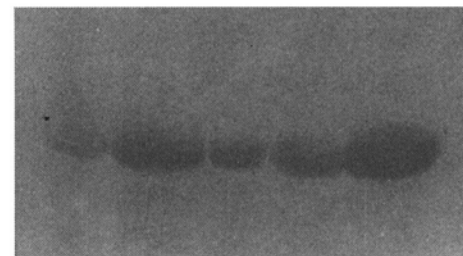


图 1 转移后的 PVDF 膜

我们曾发现 CDH 具有抗胰蛋白酶及胰凝乳蛋白酶酶解的性质，因此这里测得的 N 端应是真实的 N 端，不可能是 CDH N 端封闭而水解出来的 N 端。从得到的一段氨基酸序列看，前 8 个都是疏水氨基酸，这一氨基酸组成

表 1 CDH 氨基酸组成和含量

氨基酸	含量/%	氨基酸	含量/%	氨基酸	含量/%
Asp(Asn)	10.5	Thr	5.0	Ile	4.4
Glu(Gln)	10.6	Met	0	Pro	1.9
Lys	5.8	Gly	9.3	Phe	4.7
Arg	4.7	Val	7.5	Trp	1.9
His	1.3	Ala	8.9	Tyr	7.1
Ser	5.9	Leu	8.8	Cys	1.3

比例高于 CDH 的整体氨基酸组成<sup>[3]</sup>。根据许多膜蛋白的结构特点推测，CDH 的 N 端可能亦埋藏于脂双层中。表 1 为 CDH 的氨基酸组成，从表 1 中可见 CDH 中甘氨酸与丙氨酸含量较高，从我们得到的这一段 N 端序列中亦得到一定体现。

1937 年 Mann 和 Quastel<sup>[5]</sup>首次发现 CDH，早期由于纯化上的困难，人们对 CDH 的性质及结构与功能的了解甚少，自吴如丹等<sup>[2]</sup>获得了电泳纯制剂以来，才开展了一系列的研究，但一直未能在分子水平上深化。阐明 CDH 的一级与高级结构是从分子水平上了解 CDH、解释一些现象的根本原因所必不可少的，这种结构信息有益于：a. 比较不同种属来源 CDH 的一级结构并推测判定它的活性中心。对于任一蛋白质来讲，要确定它的活性位点、了解其作用的分子机制，必须知道它的一级结构。而不同种属、不同细胞来源的 CDH 一级结构比较则可以判定它们是否为相同家族的蛋白质，如果不同来源的 CDH 都有一相似的活性位点则可以从氨基酸序列比较中得到证明。b. 阐明 CDH 催化反应的分子机制。c. 了解蛋白质与膜的相互作用关系。

目前有关 CDH 的一级结构仅在 *E. coli* 中

得到阐明，Lamark 等<sup>[1]</sup>以 *E. coli* 为材料，测定了大肠杆菌 bet 基因的全部核苷酸序列，这个基因编码了包括胆碱脱氢酶在内的共 4 个与胆碱代谢传送有关的蛋白质，4 个不同的阅读框架决定了这几种蛋白质的表达和调控，他们由此推出 CDH 的一级结构<sup>[1]</sup>。Douglas<sup>[6]</sup>认为 *E. coli* 中的 CDH 因与酵母甲醇氧化酶等具有高同源性而属于同一家族，他称之为葡萄糖-甲醇-胆碱 (glucose-methanol-choline, GMC) 氧化还原酶家族，这几个酶和其他黄素蛋白相似，都具有结合腺嘌呤核苷二磷酸 (ADP) 的  $\beta\alpha\beta$ -fold 结构。

其他来源的 CDH 的一级结构至今尚无报道。我们得到了鼠肝线粒体胆碱脱氢酶 N 端的 10 个氨基酸残基序列，发现它与 *E. coli* CDH 的氨基酸序列并无明显的同源性，与鼠肝线粒体中的甘油-3-磷酸脱氢酶等其他几种脱氢酶也无明显的同源性，却和小鼠 C05 蛋白（即补体 C5 的前体蛋白）、大鼠腺苷酰（基）环化酶 (adenylyl cyclase)、人甾体结合蛋白 (oxysterol binding protein) 有较高的同源性（表 2）。鼠肝线粒体 CDH N 端序列与 *E. coli* CDH 无明显的同源性，可能与后者是可溶性蛋白，因而不需 N 端一段疏水插膜序列有关。

表 2 鼠肝线粒体 CDH N 端序列与几种蛋白质的同源性比较

蛋白质	来源	氨基酸序列
CDH	大肠杆菌	1 MQFDYIIIGAGSAGN
CDH	大鼠	1 VAAAAGGGKD
甾体结合蛋白	人	56 ASGTV VAAAAGG PGPGA
腺苷酰(基)环化酶	大鼠	21 AEAAA AAAAGGC EGLQR
C05	小鼠	632 LGCGAGGCHD

随着 DNA 重组技术的发展，基于 DNA 测序的快速、方便等特点，蛋白质的一级结构很多是由 cDNA 序列判定，鉴于此，这里测定的 CDH N 端序列为全序列的测定提供了一个

可行的方向与有利的前提条件。

致谢 夏其昌教授，屠红，徐来根及李彤先生给予极大支持与帮助，特此感谢。

## 参考文献

- 1 Lamark T, Kaasen I, Eshoo M W et al. DNA sequence and analysis of the bet genes encoding the osmoregulatory choline-glycine betaine pathway of *Escherichia coli*. *Mol Microbiol*, 1991, 5: 1049
- 2 吴如丹, 林其谁. 鼠肝线粒体胆碱脱氢酶的提纯. 生物化学与生物物理学报, 1985, 17: 624
- 3 吴如丹, 林其谁. 胆碱脱氢酶的性质. 生物化学与生物物理学报, 1985, 17: 643
- 4 Paul M. Sequence from picomole quantities of protein electroblotted onto PVDF membranes. *J Biol Chem*, 1987, 262: 10035
- 5 Mann P J G, Quastel J H. The oxidation of choline by rat liver. *Biochem J*, 1937, 31: 869
- 6 Douglas R C. GMC oxidoreductases: a newly defined family of homologous proteins with diverse catalytic activities. *J Mol Biol*, 1992, 223: 811

## Amino Terminal Sequence of Choline Dehydro-

**genase.** FU Xiaohong, LIN Qishui (*State Key Laboratory of Molecular Biology, Shanghai Institute of Biochemistry, Academia Sinica, Shanghai 200031, China*).

**Abstract** Solubilized rat liver mitochondrial choline dehydrogenase was further purified by the SDS-PAGE and electroblotting methods. Both the lipids and detergents etc. were removed during the process of purification. The amino terminal sequence of the purified CDH was determined, it was: VAAAAGGGKD. Although the sequence showed high homology with mouse CO5 protein, rat adenylyl cyclase and human oxysterol binding protein, there was no similarity with CDH of *E. coli*.

**Key words** choline dehydrogenase, electroblotting, primary sequence, homology

(上接第 135 页, Continued from page 135)

- 13 Kao J P Y, Alderton J M, Tsien R Y et al. Active involvement of  $\text{Ca}^{2+}$  in miarotic progression of Swiss 3T3 fibroblasts. *J Cell Biol*, 1990, 111: 183~196
- 14 Gilroy S S, Tead N D, Trewavas A J. Elevation of cytoplasmic calcium by caged calcium or caged inositol triphosphated initiates stomatal closure. *Nature (London)*, 1990, 346: 769~771
- 15 Buchet R, Jona I, Martonosi A.  $\text{Ca}^{2+}$  release from caged  $\text{Ca}^{2+}$  alters the FTIR spectrum of sarcoplasmic reticulum. *Biochim Biophys Acta*, 1991, 1069: 209~217
- 16 Adams S R, Tsien R Y. Controlling cell chemistry with caged compounds. *Ann Rev Physiol*, 1993, 55: 755~784

**Photorelease Technique of  $\text{Ca}^{2+}$  and Its Applications in Cell Studies.** XU Jianhua, QU Anlian, KANG Huaguang (*Institute of*

*Biophysics and Biochemistry, Huazhong University of Science and Technology, Wuhan 430074, China*).

**Abstract** Photorelease technique of  $\text{Ca}^{2+}$  can manipulate intracellular calcium concentration ( $[\text{Ca}^{2+}]_i$ ) by photolyzing specific photosensitive  $\text{Ca}^{2+}$  chelator in the cell to change its affinity with  $\text{Ca}^{2+}$ . This technique is especially useful in elucidating the intracellular messenger role of  $\text{Ca}^{2+}$  in cell functions such as electrical excitability, muscle contraction and secretion, etc.

**Key words** photosensitive chelators, intracellular  $\text{Ca}^{2+}$  concentration, photorelease